



(12)

## BREVET DE INVENȚIE

(21) Nr. cerere: **a 2010 01251**

(22) Data de depozit: **30/11/2010**

(45) Data publicării mențiunii acordării brevetului: **30/03/2018** BOPI nr. **3/2018**

(41) Data publicării cererii:  
**30/07/2012** BOPI nr. **7/2012**

(73) Titular:  
• **INSTITUTUL NAȚIONAL DE  
CERCETARE-DEZVOLTARE PENTRU  
TEHNOLOGII CRIOGENICE ȘI IZOTOPICE  
- ICSI RÂMNICU VÂLCEA,  
STR.UZINEI NR.4, OP RÂURENI, CP.7,  
RÂMNICU VÂLCEA, VL, RO**

(72) Inventatori:  
• **NICULESCU VIOLETA-CAROLINA,  
STR.DACIA NR.10, BL. UJCM, SC.B, ET.1,  
AP.8, RÂMNICU VÂLCEA, VL, RO;**  
• **TAMAIAN RADU,  
STR. CALEA LUI TRAIAN NR.60, BL.S31,  
SC.A, AP.7, RÂMNICU VÂLCEA, VL, RO;**  
• **MARCUS IOAN, STR. TÂȘNAD NR. 17,  
BL. P6, SC. 1, ET.1, AP. 19,  
CLUJ- NAPOCA, CJ, RO;**

• **POPESCU IULIA LUCIANA,  
SAT RĂDĂCINEȘTI, NR.259,  
COMUNA BERÎSLĂVEȘTI, VL, RO;**  
• **SEVASTRE BOGDAN,  
STR. GRIGORE ALEXANDRESCU NR. 7,  
BL. E13, SC. 1, ET. 2, AP.11,  
CLUJ-NAPOCA, CJ, RO**

(56) Documente din stadiul tehnicii:  
**YASMINE M. KANAAN, DOUGLAS F.  
WHITE, JHARNA R. DAS, SOLOMON  
BERHE, OLADAPO BAKARE, HILLAIRE  
KENGUELE, DESTA BEYENE, YANFEI  
ZHOU, AGNES A. DAY ȘI ROBERT L.  
COPELAND JR., "SYNTHESIS AND  
CHARACTERIZATION OF NOVEL  
UNSYMMETRICAL AND SYMETRICAL  
3-HALO-OR 3- METHOXY-SUBSTITUED  
2-DIBENZOYLAMINO-1,4-  
NAPHTOQUINONE DERIVATES",  
MOLECULES, VOL. 18, PP. 1973-1987,  
2013**

(54) **DERIVAT NAFTALENDIONIC UTILIZAT ÎN CONTROLUL  
CREȘTERII TUMORALE**



1 Inventția se referă la utilizarea unui derivat naftalendionic (DN) 2,3-disubstituit,  
 2 clorurat, cu formula  $C_{16}H_9ClN_2O_3$ : N-(3-cloro-1,4-dioxo-1,4-dihidronaftalen-2-il)piridin-3-car-  
 3 boxamidă (fig. 1), în controlul creșterii tumorale, și la un preparat injectabil, sub formă de  
 soluție injectabilă, care îl conține.

5 Cercetările efectuate în domeniul terapiei cancerului au condus la dezvoltarea a  
 numeroase clase de compuși organici cu activitate antitumorală/anticancerigenă promiță-  
 7 toare. Dintre numeroșii compuși naturali sau sintetici studiați pentru potențialul lor anticance-  
 rigen, compușii cu structură naftalendionică reprezintă o parte importantă. P. Babula, V.  
 9 Adam, L. Havel și R. Kizek în articolul *Naphthoquinones and their Pharmacological  
 Properties*, publicat în *Ceská a Slovenská Farmacie* 2007, 56:114-120, au menționat că  
 11 naftochinonele sunt compuși fenolici larg răspândiți în natură, care se leagă de ADN și inhibă  
 procesele de replicare, interacționând și cu numeroase enzime cheie, făcându-le utilizabile  
 13 în China și în țările din America de Sud în fitoterapia afecțiunilor maligne. B. H. Kim, J. Yoo,  
 S. H. Park, J. K. Jung, H. Cho și Y. Chung, în articolul *Synthesis and evaluation of  
 15 antitumor activity of novel 1,4-naphthoquinone derivatives (IV)*, *Archive of Pharmacal  
 Research* 2006; 29:123-130, descriu sinteza unor derivați dimetoxi- și dihidroxi-1,4-nafto-  
 17 chinonici, precum și activitatea lor antitumorală la șoarecii cu transplant de cancer murinic,  
 linia celulară S180.

19 Gruparea farmacoforă 1,4-naftalendionică este cunoscută ca având pronunțate efecte  
 biologice în derivații 2,3-disubstituiți, conducând la activități antitumorale/antiproliferative.  
 21 G.Y. Song, Y. Kim, X.G. Zheng, Y.J. You, H. Cho, J.H. Chung, D.E. Sok și B.Z. Ahn, în  
*Naphthazarin derivatives (IV): synthesis, inhibition of DNA topoisomerase I and  
 23 cytotoxicity of 2- or 6-acyl-5,8-dimethoxy-1,4-naphthoquinones*, *European Journal of  
 Medicinal Chemistry* 2000; 35:291-298, [http://doi.org/10.1016/S0223-5234\(00\)00129-X](http://doi.org/10.1016/S0223-5234(00)00129-X),  
 25 au sintetizat o serie de derivați 2- și 6-acilați ai 5,8-dimetoxi-1,4-naftochinonei, cu efecte anti-  
 tumorale realizate prin inhibarea topoizomerasei I. E. J. Lee, H. J. Lee, H. J. Park, H. Y.  
 27 Min, M. E. Suh, H. J. Chung și S. K. Lee, în *Induction of G2/M cell cycle arrest and  
 apoptosis by a benz[f]indole-4,9-dione analog in cultured human lung (A549) cancer  
 29 cells*, *Bioorganic Medicinal Chemistry Letters* 2004; 14:5175-5178,  
<http://doi.Org/10.1016/j.bmcl.2004.07.062>, au sintetizat 2-amino-3-etoxicarbonil-N-metil-  
 31 benz[f]indol-4,9-dionă, care a prezentat efecte inhibitoare asupra unor linii celulare de cancer  
 uman (linia A549 - cancer pulmonar, Col2 - cancer de colon și SNU-638 - cancer stomacal).  
 33 A. E. Shchekoikhin, V. N. Buyanov, și M. N. Preobrazhenskaya descriu în *Synthesis of  
 1-ω-aminoalkyl)naphthoindolediones with antiproliferative properties*, *Bioorganic  
 35 Medicinal Chemistry* 2004; 12:3923-3930, <http://doi.Org/10.1016/j.bmc.2004.04.042>,  
 prepararea derivaților 4,11-dihidroxi-nafto[2,3-f]indol-5,10-dionici care conțin și substituenți  
 37 N-aminoalchilici, demonstrând și activitatea lor antiproliferativă ridicată împotriva a 60 de linii  
 celulare de cancer uman (exemplu: linia celulară NCI/ADR de cancer de sân).

39 M. T. Smith, C. G. Evans, H. Thor și O. Sten, în *Quinones-induced oxidative  
 injury to cells and tissues*, în *Oxidative Stress*, (Editor S. Helmet), Academic Press Inc.  
 41 London, 1985, ISBN:978-0-12-642760-8, 0-12-642760-7, au arătat că activarea celulară a  
 compușilor chinoidici (dicetone cu structura  $O = C-(C=C)_n-C = O$ ) necesită reducerea lor  
 43 printr-un proces de transfer cu unu sau doi electroni, care poate fi realizat de către mai multe  
 reductaze NADPH, respectiv NADH - caracteristicile redox ale chinonei au fost bine  
 45 caracterizate și extrapolarea lor în procesele biologice a furnizat multiple informații cu privire  
 la aspectele ei toxicologice. M. R. S. Kumar, K. Aithal, B. N. Rao, N. Udupa, B. S. S. Rao,  
 47 în *Cytotoxic, genotoxic and oxidative stress induced by 1,4-naphthoquinone in B16F1*

*melanoma tumor cells*, *Toxicology in Vitro* 2009, 23:242-250, au studiat potențialul citotoxic al 1,4-naftochinonei împotriva melanomului B16F1 *in vitro*, observând că tratamentul a determinat o citotoxicitate dependentă de concentrație, corelată cu creșterea corespunzătoare a generării de specii reactive de oxigen, sugerând rolul stresului oxidativ în moartea celulară datorată apoptozei.

S. Patai, în *The Chemistry of the Quinonoid Compounds*, The Hebrew University, Jerusalem. John Wiley & Sons, New York, 1974; Volume II, Part I, ISBN 0 471919160, pune accent pe grupările funcționale din structurile chinonice și pe efectele pe care le exercită asupra proprietăților chimice și fizice, în special în imediata vecinătate a grupării, și nu în ultimul rând asupra comportamentului întregii molecule. În mod similar, se menționează că parametrii de activare pentru migrația intramoleculară a cationilor crește odată cu creșterea substituției clorului în aducți radicalici alchiltin-chinonă. S. Spyroudis în *Hydroxyquinones: Synthesis and Reactivity*, *Molecules* 2000; 5:1291-1330, doi:10.3390/51201291, se concentrează în principal asupra chimiei fragmentului de hidroxi-chinonă, prin revizuirea metodele de preparare și reactivitate. De asemenea, menționează că substituentul clor direct atașat la ciclul unei chinone poate fi ușor transformat în grupare hidroxil.

Problema tehnică a invenției constă în realizarea unui control eficient al creșterii tumorale.

Soluția la problema tehnică a invenției constă în utilizarea unui derivat naftalendionic 2,3-disubstituit, clorurat, cu formula  $C_{16}H_9ClN_2O_3$ : N-(3-cloro-1,4-dioxo-1,4-dihidronaftalen-2-il)piridin-3-carboxamidă (fig. 1), administrat sub forma unui preparat injectabil. De preferință, preparatul injectabil este sub formă de soluție injectabilă.

Substanța activă, N-(3-cloro-1,4-dioxo-1,4-dihidronaftalen-2-il)piridin-3-carboxamida, se poate obține prin substituția selectivă a unuia dintre cei doi atomi de clor din pozițiile 2,3 ale 2,3-dicloro-1,4-dihidronaftalen-1,4-dionei - molecula fiind simetrică.

Această reacție (fig. 2) se poate efectua utilizând ca solvent alcoolul etilic absolut, reactantul fiind piridin-3-carboxamida. Pentru a substitui selectiv un singur atom de clor din molecula 2,3-dicloro-1,4-dihidronaftalen-1,4-dionei este necesar un raport molar de 1:1 între substrat și reactant - reacția desfășurându-se într-un interval de timp de 3 h, la refluxare.

Pentru a obține informații referitoare la natura legăturilor chimice și tipul atomilor implicați în construcția moleculei, s-a înregistrat spectrul IR al compusului, tabelul 2 prezentând frecvențele de absorbție caracteristice grupărilor din moleculă, confirmând astfel, împreună cu analiza elementală (tabelul 1), structura presupusă a moleculei.

Tabelul 1

Detalii ale preparării și analiza elementală pentru DN

| Compus | $M_{calc}$ | mp<br>(°C) | tPSA <sup>a</sup><br>clogP <sup>a</sup> | Aspect | Randament |         |             |
|--------|------------|------------|---|--------|-----------|---------|-------------|
|        |            |            |   |        | %         | Element | Calc./Exp%  |
| DN     | 312,71     | 137        | 75,6<br>2,6854                          | Galben | 97        | C       | 61,45/61,40 |
|        |            |            |   |        |           | H       | 2,90/2,95   |
|        |            |            |   |        |           | N       | 8,96/9,00   |
|        |            |            |   |        |           | O       | 15,35/15,37 |
|        |            |            |   |        |           | Cl      | 11,34/11,38 |
|        |            |            |   |        |           | Ni      | 8,68/8,65   |

Frecvențele de absorbție în IR caracteristice DN

| Compus | $\nu_{\text{N-H}}$ | $\nu_{\text{C=O}}$ | $\nu_{\text{CN}}$<br>legătura<br>dublă<br>C=C | $\nu_{\text{CN}}$<br>legătura<br>NH <sub>2</sub> | $\nu_{\text{C-Cl}}$ | $\nu_{\text{C=C}}$ | $\nu_{\text{C-H}}$ | $\nu_{\text{NH}}$ |
|--------|--------------------|--------------------|---|--|---------------------|--------------------|--------------------|-------------------|
| DN     | 3482i<br>3370i     | 1670i              | 1580i   | 1356i  | 687i                | 1150m              | 1005s              | 755i              |

i = intens, m = mediu, s = slab

Metoda de lucru pentru testarea efectelor antiproliferative (antitumorale) ale compusului N-(3-cloro-1,4-dioxo-1,4-dihidronaftalen-2-il)piridin-3-carboxamidă constă în prepararea unei soluții injectabile „mamă”, obținută prin dizolvarea a 30 mg de compus în 300  $\mu$ l amestec de excipienți: co-solvent (2,6-di-terț-butil-4-metilfenol ~ 0,02% vol., 5-hidroxi-1,3-dioxan ~ 60% vol., și 4-hidroximetil-1,3-dioxolan ~ 40% vol.) și propilen glicol, în raport molar de 2:3, urmată de omogenizare prin agitare energetică.

Protocolul de tratament utilizat constă în administrarea injectabilă pe cale intraperitoneală, în două reprize, la interval de 6 zile, a unei cantități de 0,5 mg N-(3-cloro-1,4-dioxo-1,4-dihidronaftalen-2-il)piridin-3-carboxamidă dizolvată în 0,5 ml amestec de excipienți (ziua 1), respectiv de 0,3 mg N-(3-cloro-1,4-dioxo-1,4-dihidronaftalen-2-il)piridin-3-carboxamidă dizolvată în 0,3 ml excipienți în ziua 6. Preparatul injectabil administrat în ziua 1 este obținut prin dizolvarea a 50 ml soluție „mamă” în 2,475 ml amestec de excipienți, la care se adaugă 2,475 ml soluție salină sterilă, rezultând o concentrație finală de 0,5 mg N-(3-cloro-1,4-dioxo-1,4-dihidronaftalen-2-il)piridin-3-carboxamidă la 0,5 ml amestec excipienți per animal, ceea ce este echivalent cu 1,5 mg N-(3-cloro-1,4-dioxo-1,4-dihidronaftalen-2-il)piridin-3-carboxamidă la 100 g masă corporală sau cu 15 mg N-(3-cloro-1,4-dioxo-1,4-dihidronaftalen-2-il)piridin-3-carboxamidă per kg masă corporală. Pentru administrarea II (după 5 zile), soluția injectabilă se obține din 30 ml soluție „mamă” dizolvată în 1,485 ml amestec excipienți, completată cu 1,485 ml soluție salină sterilă, rezultând o concentrație de 0,3 ml N-(3-cloro-1,4-dioxo-1,4-dihidronaftalen-2-il)piridin-3-carboxamidă la 0,3 ml amestec excipienți per animal, ceea ce corespunde cu 0,9 mg N-(3-cloro-1,4-dioxo-1,4-dihidronaftalen-2-il)piridin-3-carboxamidă la 100 g masă corporală sau cu 9 mg N-(3-cloro-1,4-dioxo-1,4-dihidronaftalen-2-il)piridin-3-carboxamidă per kg masă corporală.

Pentru evaluarea efectului antiproliferativ, s-au folosit 32 șoareci albi linia Swiss, femele, cu o greutate de  $30,5 \pm 1$  g. Experimentul s-a desfășurat pe o perioadă de 14 zile. În ziua 0, toate animalele au primit  $10^6$  celule în suspensie de carcinom ascitic Ehrlich (CAE) intraperitoneal.

Animalele au fost împărțite în patru loturi, după cum urmează: primul lot CAE + DN a primit 0,5 mg derivat naftalendionic/animal în ziua 1, și 0,3 mg naftalendionic/animal în ziua 6. Lotul doi CAE + Exp a primit 0,5 ml amestec excipienți/animal în ziua 1 și 0,3 ml amestec/animal în ziua 6. Lotul trei CAE + D primește clorhidrat de doxorubicină (Adriablastina 10 mg - Pfizer) 0,01 mg/animal în zilele 1 și 6 ale experimentului, iar lotul patru CAE-M este considerat lotul martor. Animalele au fost cântărite la începutul și la sfârșitul experimentului. Pentru administrarea intraperitoneală, derivatul naftalendionic a fost preparat după modelul descris. Lavajul peritoneal la animalele care au necesitat această tehnică s-a făcut introducând 1 ml de ser fiziologic în cavitatea abdominală, urmată de recoltarea acestuia cu o pipetă semiautomată.

# RO 127619 B1

|   |                             |
|---|-----------------------------|
| La finele experimentului, examenul clinic general al loturilor luate în studiu a relevat o stare generală bună. La lotul tratat cu derivat naftalendionic, animalele nu au prezentat modificările comportamentale (stare de abatere și letargie) constatate în cazul loturilor CAE + Exp și CAE, tulburări datorate dezvoltării tumorii ascitogene Ehrlich. De asemenea, animalele din lotul CAE + DN au avut un aspect exterior normal, blana prezentând luciul și integritatea caracteristice. În cazul lotului tratat cu clorhidrat de doxorubicină, animalele au prezentat o ușoară stare de abatere, însoțită de aspectul neîngrijit al blănii animalelor. În urma administrării derivatului naftalendionic la lotul CAE + DN, la finele experimentului s-a observat o ușoară scădere a masei corporale semnificativă statistic față de lotul martor, la lotul CAE + D s-a înregistrat o ușoară creștere, dar și aici diferența a fost semnificativă statistic față de lotul martor. O explicație a faptului că la lotul CAE + DN nu s-au înregistrat creșteri ale masei corporale este dată de efectul inhibitor al derivatului naftalendionic asupra dezvoltării tumorale. | 1<br>3<br>5<br>7<br>9<br>11 |
| Creșterea masei corporale la loturile CAE + Exp și CAE-M este pusă pe seama dezvoltării carcinomului ascitic Ehrlich. Remarcabil este faptul că în cazul lotului CAE + DN nu s-a înregistrat nici o cantitate de lichid ascitic. Această situație s-a înregistrat și în cazul lotului CAE + D, dar aici era de așteptat, deoarece clorhidratul de doxorubicină este un citostatic clasic de uz curent. Un deosebit avantaj al administrării derivatului naftalendionic față de doxorubicină rezidă în faptul că cea mai mică concentrație de celule tumorale viabile s-a înregistrat în cazul lotului CAE + DN. De asemenea, în cazul acestui lot, la colorația cu albastru de tripan nu s-au remarcat celule tumorale moarte, rezultând astfel că derivatul naftalendionic nu numai că are efect inhibitor asupra dezvoltării tumorale, ci mai mult, nu prezintă efect citotoxic, cum este cazul doxorubicinei folosite în cazul lotului CAE + D.  | 13<br>15<br>17<br>19<br>21  |
| Invenția are aplicabilitate în domeniul oncologiei medical-veterinare (de exemplu, metastaze hepatice la câini și pisici) și experimentale (de exemplu, ATCC® TCP-1011™).   | 23                          |

# RO 127619 B1

## Revendicări

1

3 1. N-(3-cloro-1,4-dioxo-1,4-dihidronaftalen-2-il)piridin-3-carboxamidă pentru utilizare  
în controlul creșterii tumorale.

5

2. Soluție injectabilă care cuprinde 0,1 mg de N-(3-cloro-1,4-dioxo-1,4-dihidro-  
naftalen-2-il)piridin-3-carboxamidă și 1 μl amestec de excipienți constând în co-solvent și  
7 propilen glicol în raport molar 2:3.

7

9

3. Soluție injectabilă conform revendicării 2, **caracterizată prin aceea că** respectivul  
co-solvent este selectat dintre 2,6-di-terț-butil-4-metilfenol în concentrație de 0,02% vol.,  
5-hidroxi-1,3-dioxan în concentrație de 60% vol. și 4-hidroximetil-1,3-dioxan în concentrație  
11 de 40% vol.

11

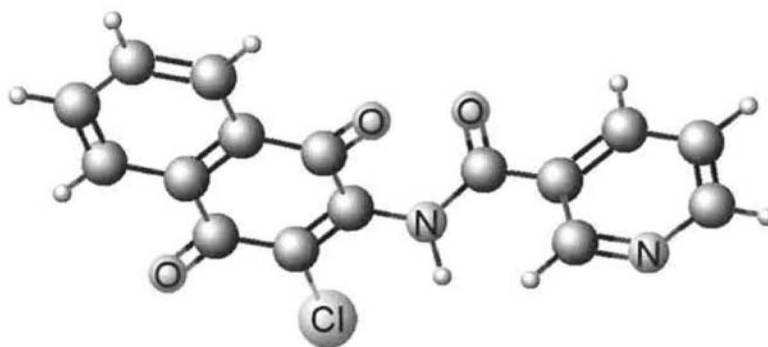


Fig. 1

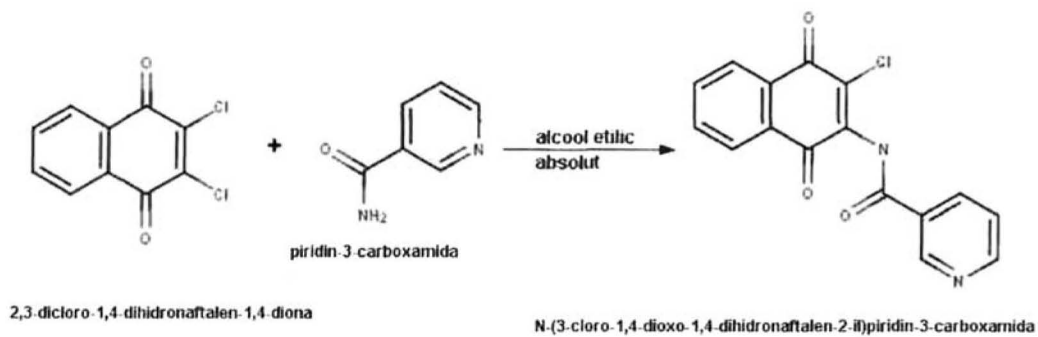


Fig. 2

